

پترولوژی لمپروفیرهای جنوب شرق انارک (استان اصفهان)

قدرت ترابی

گروه زمین شناسی دانشگاه اصفهان

چکیده

در جنوب شرق انارک (استان اصفهان) در امتداد گسل ترکمنی - اوردیب، استوک‌ها (پلاگ) و گدازه‌های بالشی لمپروفیری دیده می‌شوند. کانی‌های تشکیل‌دهنده این سنگ‌ها آمفیبول (کرسوتیت)، پلاژیوکلاز (الیگوکلاز و آلبیت)، فلدسپات پتاسیم (سانیدین)، اسپینل‌های کروم و تیتان‌دار، ایلمنیت، آپاتیت و مقادیر کمتری مگنتیت، کلریت، پومپلیت، اپیدوت، اسفن، لوکوکسن و کلسیت می‌باشند. بافت‌های موجود در گدازه‌های بالشی شامل میکرولیتی و واریولیتیک، و بافت‌های موجود در استوک‌ها اینترسراک و پورفیری است. حفره‌های موجود در گدازه‌های بالشی نیز توسط کلسیت پر شده است. مقدار SiO_2 این سنگ‌ها از ۴۰ تا ۵۲ درصد بوده و از نظر عناصر آلکالی، TiO_2 و عناصر نادر خاکی سبک بسیار غنی هستند. در تقسیم‌بندی لمپروفیرها این سنگ‌ها جزو لمپروفیرهای آلکالن بوده و در محیط تکتونیکی درون صفحه قاره‌ای پدید آمده‌اند.

واژه‌های کلیدی: لمپروفیر، استوک، گدازه بالشی، آلکالن، انارک.

Petrology of lamprophyres in Southeast of Anarak (Isfahan Province)

GH. Torabi

Geology Department, the University of Isfahan

Abstract

Lamprophyric stocks and pillow lavas are situated in the southeast of Anarak (Isfahan Province), adjacent to the Turkmeni-Ordib fault. Rock-forming minerals are amphibole (kaersutite), plagioclase (oligoclase and

albite), K-feldspar (sanidine), Cr-Ti spinel, ilmenite, apatite with low amount magnetite, chlorite, pumpellyite, epidote, sphene, leucoxene and calcite. Textures of pillow lavas are microlitic and variolitic, and textures of stocks are porphyritic and intersertal. The cavities are filled by calcite. These rocks are enriched in alkalis, TiO₂ and LREE, and the SiO₂ content ranges from 40 to 52 weight percent. In classification of lamprophyres, these rocks are alkaline lamprophyres and tectonically are formed in intra-continental plate setting.

Keywords: Lamprophyre, Stock, Pillow Lava, Alkaline, Anarak.

ماهیت ماغماتیسم پالئوزوئیک در ایران زمین و نقش

گسل ترکمنی - اوردیب در این ماغماتیسم بدست خواهد داد.

روش انجام کار

پس از انجام بررسی‌های صحرایی و نمونه برداری سیستماتیک، به منظور انجام مطالعات پتروگرافی و کانی شناسی، از نمونه‌های مورد بررسی مقطع نازک تهیه گردید. بعد از بررسی‌های پتروگرافی، از نمونه‌های مناسب مقطع نازک صیقلی تهیه شده و کانی‌های موجود در آنها با استفاده از دستگاه آنالیز الکترون میکروپروروب مدل (WDS) JEOL JXA-8800 دانشگاه کانازاراوای ژاپن با ولتاژ شتاب دهنده 20 kV و جریان 12 nA مورد بررسی قرار گرفتند.

نتایج آنالیز نقطه‌ای کانی‌ها به همراه نتایج محاسبه فرمول ساختاری و درصد اعضای پایانی در جدول‌های ۱ تا ۴ آورده شده است. در محاسبه مقدار Fe³⁺ جهت دسترسی به فرمول ساختاری کانی‌ها نیز از استوکیومتری (Droop, 1987 و Spear, 1995) استفاده گردید.

به منظور مطالعه ژئوشیمی لمپروفیرهای موجود در منطقه پله‌اوند و بررسی ارتباط احتمالی گدازه‌های بالشی و استوک‌ها، تعداد ۱۲ نمونه از گدازه‌های بالشی، یک

مقدمه

لمپروفیرها سنگ‌های غنی از H₂O و یا CO₂ هستند که ترکیب آنها از سدیک تا پاتاسیک و یا از حدوداً سطح تا اولترابازیک می‌باشد. این سنگ‌ها در محیط‌های اقیانوسی و قاره‌ای به صورت سنگ‌های آتشفسانی، توده‌های نفوذی عمیق یا نیمه عمیق و حتی به صورت گدازه‌های بالشی دیده می‌شوند، (Rock, 1991; Aydar et al., 2003) در این سنگ‌ها حضور درشت بلورهای فرومیزین در زمینه‌ای دانه ریز کاملاً مشخص است.

لمپروفیرها در تمام دوران‌های زمین شناسی در محیط‌های تکتونیکی قاره‌ای و اقیانوسی تشکیل گردیده‌اند (Srivastava and Chalapati Rao, 2007; Guo et al., 2004; Tappe et al., 2004, Andronikov and Foley, 2001) طبقه‌بندی و توصیف کامل این سنگ‌ها در منابعی همچون Rock (Le Maitre et al., 2002) و (1991) آورده شده است.

در این نوشه با استفاده از بررسی‌های صحرایی، پتروگرافی، کانی‌شناسی و ژئوشیمیایی، لمپروفیرهای موجود در جنوب شرق منطقه انارک مورد مطالعه قرار گرفته‌اند. مطالعه این سنگ‌ها داده‌های جدیدی در مورد

بخش‌های بالایی این گدازه‌های بالشی توسط ماسه سنگ‌های آرکوزی پوشانده شده است که حاصل هوازدگی گنیس‌های پله‌اوند و شیست‌ها اناارک می‌باشد. بنابراین می‌توان گفت که گدازه‌های بالشی پله‌اوند جوانتر از گنیس‌ها و شیست‌ها اناارک بوده و سن احتمالی آنها با توجه به روابط چینه‌شناسی پالئوزوئیک بالایی می‌باشد چرا که قطعاتی از این سنگ‌ها در درون سازنده‌ای پالئوزوئیک بالایی موجود در منطقه دیده می‌شود.

از آنجایی که استوک‌های قطع کننده گدازه‌های بالشی نیز توسط همین رسوبات پوشانده شده‌اند و قطعات آنها نیز در درون سنگ‌های رسوبی پالئوزوئیک بالایی قابل مشاهده است، بنابراین در مورد استوک‌ها نیز می‌توان سن پالئوزوئیک بالایی را پیشنهاد نمود.

در بررسی‌های صحرایی وجود حاشیه سرد شده در کناره‌های استوک‌ها بخوبی قابل مشاهده بوده و بخش‌های دانه ریز از نظر پتروگرافی شباهت بسیار زیادی به گدازه‌های بالشی دارند.

از مهم‌ترین مطالعات زمین‌شناسی که تاکنون در این منطقه صورت گرفته است می‌توان به (Almasian, 1997), (Technoexport, 1984, 1997) و (Bagheri, 2007) (۱۳۸۳) اشاره نمود.

(Almasian, 1997) به بررسی تکتونیک منطقه اناارک پرداخته و ستون چینه‌شناسی جدیدی از واحدهای دگرگونی موجود در منطقه ارایه نموده است.

زمین‌شناسان روسی نیز در پژوهه (Technoexport, 1984) به مطالعه زمین‌شناسی عمومی منطقه اناارک تا خور و جندق پرداخته و چندین

نمونه از واریول‌های روی بخش‌های خارجی گدازه‌ها، و تعداد ۶ نمونه از استوک‌ها که گدازه‌های بالشی را قطع نموده اند، در دانشگاه نانسی فرانسه با استفاده از دستگاه ICP-MS ای اصفهان با روش NAA مورد آنالیز قرار گرفتند. تعدادی از آمفیبول‌های موجود در لمپروفیرهای نفوذی (استوک‌ها) نیز از درون سنگ جدا گردیده و پس از پودر شدن به صورت یک نمونه با استفاده از روش NAA مورد آنالیز قرار گرفت. نتایج آنالیزهای ژئوشیمیایی سنگ کل (Whole rock) نیز در جدول‌های ۵ و ۶ آورده شده است. در تصاویر میکروسکوپی و نشان دادن نام کانی‌ها از (Kretz, 1983) استفاده گردید.

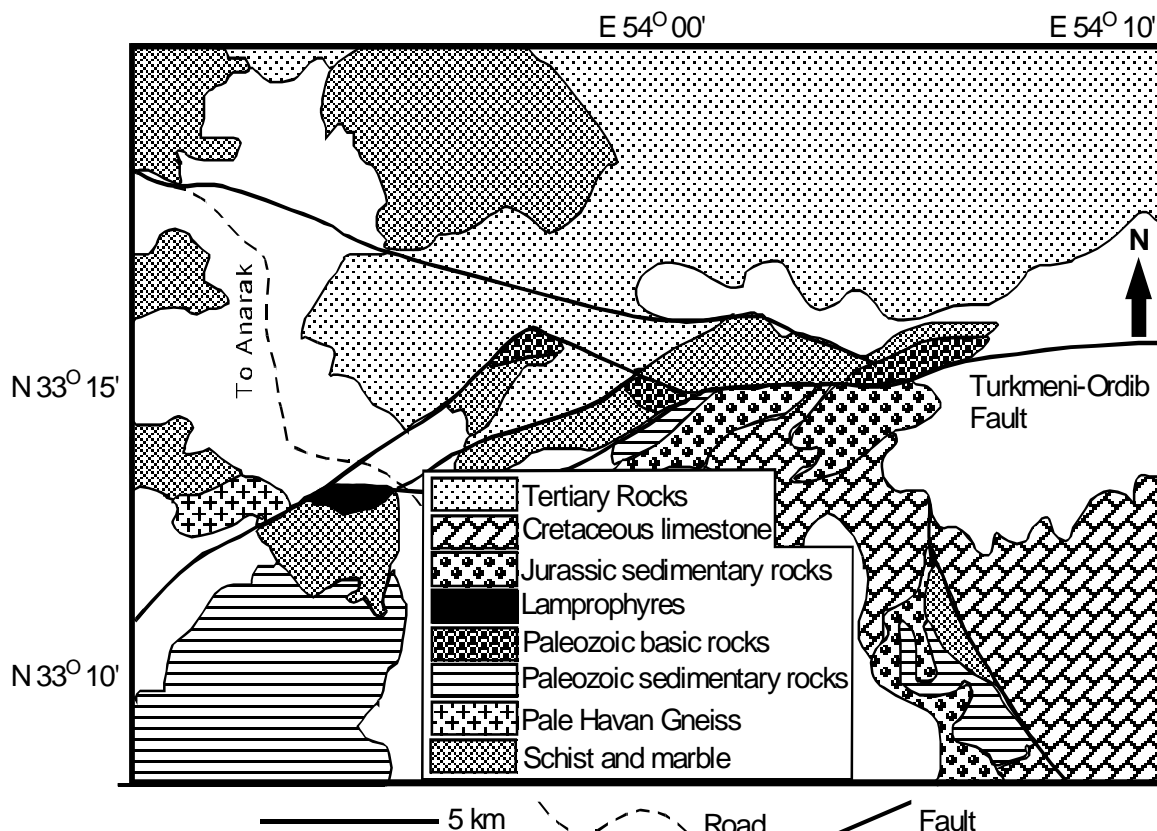
زمین‌شناسی منطقه

در بخش‌های جنوب‌شرقی ناحیه اناارک، در منطقه پله‌اوند (یا پل خاوند) گدازه‌های بالشی لمپروفیری که توسط استوک‌های لمپروفیری قطع شده‌اند، را در امتداد گسل ترکمنی - اوردیب می‌توان مشاهده نمود. رسوبات، شیشه و آذرآواری‌ها فضای بین بالش‌ها را پرکرده‌اند. لایه نازکی از رسوبات سیلیسی - آهکی در درون بخش‌های بالای این سنگ‌های آتش‌شسانی وجود دارد که در بررسی‌های میکروسکوپی وجود بیوکلاست‌های مختلف در آنها مشهود است. متاسفانه به دلیل دگرگونی و تبلور مجدد، از بررسی‌های فسیل‌شناسی جهت تعیین سن آنها نتیجه‌ای حاصل نشد.

در هیچ کدام از تحقیقات فوق بررسی دقیق کانی شناسی، پترولوزیکی و ژئوشیمیایی سنگ‌های لمپروفیری انجام نشده و فقط به وجود آنها اشاره گردیده است. نقشه زمین‌شناسی ساده شده منطقه مورد بررسی در شکل یک و تصاویر صحرایی واحدهای سنگی مورد مطالعه در شکل ۲ آورده شده است.

نقشه زمین‌شناسی و گزارش علمی در این مورد متشر نموده‌اند.

تрабی (۱۳۸۳) پترولوزی افیولیت‌های منطقه انارک و عشین - زوار و پریدوتیت‌های گوشه موجود در آنها را مطالعه و با یکدیگر مقایسه نموده است. (Bagheri, 2007) ۲۰۰۷ مناطق انارک، خور، جندق و پشت بادام را مورد بررسی ژئوتکتونیکی قرار داده و شواهد وجود پوسته اقیانوسی پالئوتیس را در پالئوزوئیک بالایی ارایه نموده است.



شکل ۱: نقشه زمین‌شناسی ساده شده منطقه پله‌آوند (شمال شرق استان اصفهان)

جدول ۱: نتایج آنالیز نقطه‌ای و محاسبه فرمول ساختاری آمفیبولهای موجود در لمپروفیرهای منطقه پله‌اوند (شمال شرق استان اصفهان)

Sample	102				316		314		
Type	plug				Plug		Pillow Lava		
Point	23	24	6	1-Jun	1	2	36	37	39
SiO ₂	38.05	38.05	39.10	38.50	39.14	39.01	38.97	39.40	39.94
TiO ₂	7.80	7.34	6.76	7.43	7.03	7.12	5.42	4.75	3.71
Al ₂ O ₃	12.97	13.02	13.18	13.02	13.30	12.95	13.16	13.67	13.82
Cr ₂ O ₃	0.00	0.00	0.00	0.04	0.00	0.00	0.00	0.00	0.00
FeO*	10.28	11.49	12.09	11.41	12.22	11.30	15.97	15.32	15.91
MnO	0.00	0.00	0.10	0.13	0.12	0.13	0.21	0.17	0.17
MgO	11.92	11.14	10.94	11.29	11.31	11.76	9.58	10.30	9.87
CaO	12.09	11.97	11.74	11.96	11.87	11.95	10.48	10.37	10.17
Na ₂ O	2.54	2.40	2.61	2.45	2.64	2.62	2.74	2.81	2.86
K ₂ O	0.97	0.97	0.98	0.95	0.93	0.95	0.87	0.93	0.88
P ₂ O ₅	-----	-----	-----	-----	-----	-----	0.49	0.36	0.27
NiO	-----	-----	-----	-----	0.01	0.00	0.02	0.00	0.00
Total	96.62	96.38	97.50	97.18	98.57	97.79	97.91	98.08	97.60
Structural formula based on the 23 Oxygens									
Si	5.78	5.81	5.90	5.82	5.83	5.85	5.87	5.86	5.96
Ti	0.89	0.84	0.77	0.85	0.79	0.80	0.61	0.53	0.42
Al	2.32	2.34	2.34	2.32	2.33	2.29	2.33	2.40	2.43
Cr	0.00	0.00	0.00	0.01	0.00	0.00	0.00	0.00	0.00
Fe ²⁺	1.31	1.47	1.53	1.44	1.52	1.42	1.65	1.38	1.40
Fe ³⁺	0.00	0.00	0.00	0.00	0.00	0.00	0.36	0.53	0.58
Mn	0.00	0.00	0.01	0.02	0.02	0.02	0.03	0.02	0.02
Mg	2.70	2.54	2.46	2.55	2.51	2.63	2.15	2.28	2.19
Ca	1.97	1.96	1.90	1.94	1.89	1.92	1.69	1.65	1.63
Na	0.75	0.71	0.76	0.72	0.76	0.76	0.80	0.81	0.83
K	0.19	0.19	0.19	0.18	0.18	0.18	0.17	0.18	0.17
P	0.00	0.00	0.00	0.00	0.00	0.00	0.06	0.05	0.04
Ni	0.00	0.00	0.00	0.00	0.00	0.00	0.00	0.00	0.00
Sum	15.90	15.86	15.85	15.84	15.83	15.86	15.72	15.69	15.66
Name	Kaersutite	Kaersutite	Kaersutite						

جدول ۲: نتایج آنالیز نقطه‌ای و محاسبه فرمول ساختاری فلدوپات‌های موجود در لمپروفیرهای منطقه پله‌هاوند (شمال شرق استان اصفهان)

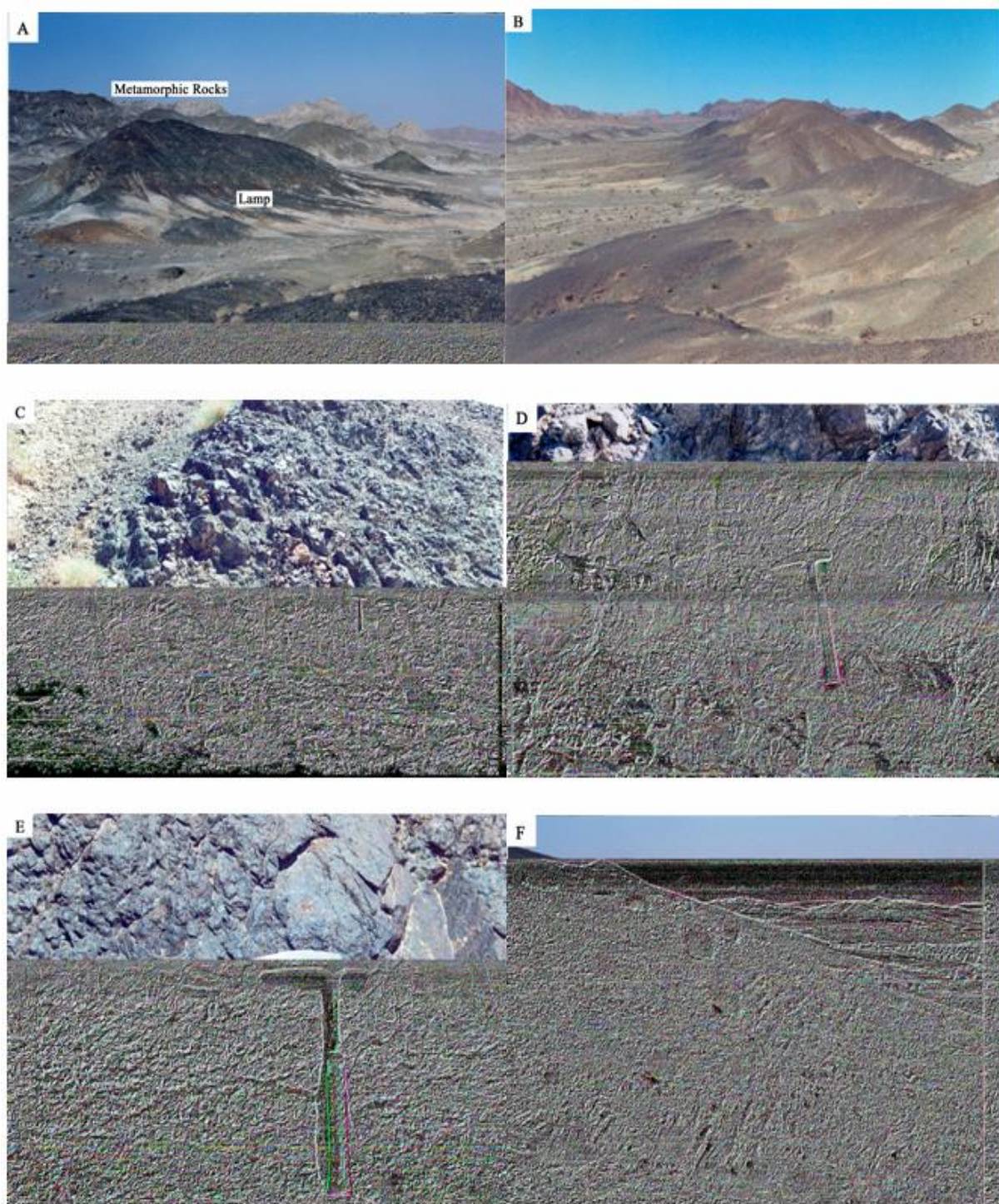
Sample	102				316				314					
Type	Intrusion				Intrusion				Pillow Lava					
Point	12	17	26	6	9	1	2	3	4	5	38	40	3	4
Mineral	K-FeI	Plag	Plag	Plag	K-FeI	K-FeI	Plag	Plag	Plag	K-FeI	Plag	Plag	Plag	K-FeI
SiO ₂	64.50	68.27	68.58	67.32	63.72	64.52	66.47	65.38	68.90	64.53	65.48	68.82	69.27	64.32
TiO ₂	0.03	0.02	0.01	0.00	0.01	0.04	0.00	0.06	0.00	0.00	0.02	0.01	0.00	0.01
Al ₂ O ₃	17.99	18.77	19.62	19.48	17.76	18.45	19.65	19.84	19.78	18.18	20.45	19.34	19.49	18.38
Cr ₂ O ₃	0.00	0.00	0.00	0.00	0.00	0.00	0.00	0.00	0.00	0.00	0.00	0.00	0.00	0.00
FeO*	0.06	0.16	0.08	0.03	0.25	0.04	1.08	2.55	0.05	0.10	0.40	0.27	0.17	0.02
MnO	0.00	0.03	0.00	0.00	0.00	0.00	0.02	0.07	0.00	0.00	0.00	0.00	0.00	0.00
MgO	0.00	0.02	0.00	0.00	0.00	0.00	0.18	0.70	0.00	0.02	0.09	0.00	0.00	0.00
CaO	0.00	0.03	0.15	0.12	0.02	0.00	0.18	0.15	0.16	0.00	2.88	0.53	0.00	0.00
Na ₂ O	0.33	11.16	11.59	11.80	0.18	0.23	11.59	10.93	11.77	0.24	10.21	11.63	11.79	0.21
K ₂ O	16.08	0.42	0.08	0.04	15.94	16.15	0.12	0.12	0.04	16.32	0.60	0.06	0.05	16.56
P ₂ O ₅	0.01	0.00	-----	-----	0.00	-----	-----	-----	-----	0.60	0.21	-----	-----	-----
NiO	0.00	0.00	-----	-----	0.00	-----	-----	-----	-----	0.00	0.01	-----	-----	-----
Total	98.99	98.88	100.1	98.79	97.88	99.43	99.29	99.80	100.7	99.39	100.1	100.7	100.8	99.50
Structural formula based on the 8 Oxygens														
Si	3.01	3.02	2.99	2.98	3.01	3.00	2.95	2.91	2.99	3.00	2.89	2.99	3.00	2.99
Ti	0.00	0.00	0.00	0.00	0.00	0.00	0.00	0.00	0.00	0.00	0.00	0.00	0.00	0.00
Al	0.99	0.98	1.01	1.02	0.99	1.01	1.03	1.04	1.01	1.00	1.07	0.99	1.00	1.01
Cr	0.00	0.00	0.00	0.00	0.00	0.00	0.00	0.00	0.00	0.00	0.00	0.00	0.00	0.00
Fe ²⁺	0.00	0.01	0.00	0.00	0.01	0.00	0.04	0.10	0.00	0.00	0.02	0.01	0.01	0.00
Fe ³⁺	0.00	0.00	0.00	0.00	0.00	0.00	0.00	0.00	0.00	0.00	0.00	0.00	0.00	0.00
Mn	0.00	0.00	0.00	0.00	0.00	0.00	0.00	0.00	0.00	0.00	0.00	0.00	0.00	0.00
Mg	0.00	0.00	0.00	0.00	0.00	0.01	0.05	0.00	0.00	0.01	0.00	0.00	0.00	0.00
Ca	0.00	0.00	0.01	0.01	0.00	0.00	0.01	0.01	0.01	0.00	0.14	0.03	0.00	0.00
Na	0.03	0.96	0.98	1.01	0.02	0.02	1.00	0.94	0.99	0.02	0.88	0.98	0.99	0.02
K	0.96	0.02	0.00	0.00	0.96	0.96	0.01	0.01	0.00	0.97	0.03	0.00	0.00	0.98
P	0.00	0.00	0.00	0.00	0.00	0.00	0.00	0.00	0.00	0.00	0.00	0.00	0.00	0.00
Ni	0.00	0.00	0.00	0.00	0.00	0.00	0.00	0.00	0.00	0.00	0.00	0.00	0.00	0.00
Sum	4.99	4.98	4.99	5.02	4.98	4.99	5.04	5.05	5.00	4.99	5.03	5.00	5.00	5.00
Ab	3.00	97.50	98.90	99.20	1.60	2.10	98.40	98.50	99.10	2.20	83.70	97.20	99.70	1.90
An	0.00	0.10	0.70	0.60	0.10	0.00	0.90	0.70	0.70	0.00	13.00	2.50	0.00	0.00
Or	97.00	2.40	0.40	0.20	98.30	97.90	0.70	0.70	0.20	97.80	3.30	0.30	0.30	98.10

جدول ۳: نتایج آنالیز نقطه‌ای و محاسبه فرمول ساختاری پومپلیت، آپاتیت، اسفن، اپیدوت، کلریت، ایلمینیت و کلسیت‌های موجود در لمپروفیرهای منطقه پله‌اوند

Sample	102	102	102	102	102	102	102	316	102	102	102	325
Analysis	13	16	7	14	15	44	8	1	10	11	43	23
Mineral	Pump	Pump	Apt	Sph	Sph	Sph	Sph	Sph	Epd	Chl	Ilm	Cal
SiO ₂	38.22	38.21	0.32	24.17	30.40	29.64	30.99	30.52	37.17	25.70	0.04	0.56
TiO ₂	0.15	0.10	0.00	33.95	28.72	37.73	32.33	32.05	0.09	0.01	50.31	0.11
Al ₂ O ₃	25.52	23.31	0.01	1.63	5.26	2.58	4.62	3.44	21.51	18.69	0.24	0.13
Cr ₂ O ₃	0.00	0.04	0.00	0.05	0.00	0.02	0.04	0.00	0.04	0.04	0.03	0.04
FeO*	8.82	11.12	0.20	15.84	6.35	1.40	1.20	4.78	13.32	35.75	43.63	4.04
MnO	0.19	0.20	0.04	0.02	0.09	0.08	0.00	0.05	0.09	0.49	4.16	0.06
MgO	0.03	0.01	0.11	0.01	1.97	0.00	0.01	1.87	0.04	7.77	0.04	1.00
CaO	21.88	22.06	54.04	22.17	24.04	25.39	27.53	24.37	19.45	0.08	0.10	51.91
Na ₂ O	0.02	0.01	0.00	0.03	0.08	0.08	0.03	0.05	0.00	0.00	0.00	0.00
K ₂ O	0.04	0.07	0.00	0.02	0.06	0.19	0.11	0.21	0.03	0.06	0.00	0.05
P ₂ O ₅	0.24	0.18	38.83	0.17	0.21	-----	0.18	-----	0.15	0.00	0.00	0.41
NiO	0.00	0.00	0.02	0.00	0.00	-----	0.00	0.02	0.00	0.00	0.00	0.01
Total	95.11	95.31	93.57	97.89	96.97	97.11	96.86	97.34	91.74	88.59	98.52	58.33
Structural Formula												
Oxygen	14	14	25	5	5	5	5	5	12.5	14	3	3
Si	6.50	6.58	0.06	0.87	1.03	0.99	1.04	1.03	3.09	5.67	0.00	0.01
Ti	0.02	0.01	0.00	0.92	0.73	0.95	0.81	0.81	0.01	0.00	0.97	0.00
Al	5.11	4.73	0.00	0.07	0.21	0.10	0.18	0.14	2.11	4.88	0.01	0.00
Cr	0.00	0.00	0.00	0.00	0.00	0.00	0.00	0.00	0.00	0.01	0.00	0.00
Fe ²⁺	1.26	1.60	0.03	0.48	0.18	0.04	0.03	0.14	0.00	6.48	0.87	0.06
Fe ³⁺	0.00	0.00	0.00	0.00	0.00	0.00	0.00	0.00	0.93	0.12	0.06	0.00
Mn	0.03	0.03	0.01	0.00	0.00	0.00	0.00	0.00	0.01	0.09	0.09	0.00
Mg	0.01	0.00	0.03	0.00	0.10	0.00	0.00	0.09	0.01	2.56	0.00	0.02
Ca	3.99	4.07	10.26	0.85	0.87	0.91	0.99	0.88	1.73	0.02	0.00	0.90
Na	0.01	0.00	0.00	0.00	0.01	0.01	0.00	0.00	0.00	0.00	0.00	0.00
K	0.01	0.02	0.00	0.00	0.00	0.01	0.01	0.01	0.00	0.03	0.00	0.00
P	0.00	0.00	5.83	0.00	0.00	0.00	0.00	0.00	0.00	0.00	0.00	0.01
Ni	0.00	0.00	0.00	0.00	0.00	0.00	0.00	0.00	0.00	0.00	0.00	0.00
Cations	16.93	17.05	16.21	3.19	3.14	3.01	3.06	3.10	7.89	19.86	2.00	1.00

جدول ۴: نتایج آنالیز نقطه‌ای و محاسبه فرمول ساختاری اسپینل‌های موجود در لمپروفیرهای منطقه پله‌اوند (شمال شرق استان اصفهان). اسپینل‌های سالم با علامت ستاره مشخص گردیده‌اند.

Rock	Intrusion	315												Pillow Lava												325																																																																																																																																																																																																																																																																					
		22	23*	24	25*	26*	27*	28	29*	30*	31*	16	17*	18	19	20	21	22	SiO ₂	0.63	0.09	0.61	0.13	0.09	0.12	2.33	0.06	0.11	0.09	1.29	0.26	3.09	9.60	1.62	1.81	19.41	TiO ₂	0.29	3.10	0.11	3.27	3.29	3.68	0.34	3.16	3.47	2.57	0.20	1.96	0.31	0.04	1.87	0.39	0.12	Al ₂ O ₃	0.46	29.01	0.81	28.32	27.53	25.92	1.50	28.75	25.84	30.45	4.74	32.09	1.71	4.95	19.28	1.01	11.38	Cr ₂ O ₃	0.15	21.12	0.11	20.65	20.48	20.46	0.35	20.97	19.67	20.70	16.59	20.60	0.12	11.55	16.56	0.39	7.56	FeO*	87.58	33.54	86.05	36.54	37.29	43.16	83.22	33.17	43.33	32.65	63.77	28.53	79.81	55.72	48.58	83.03	37.51	MnO	0.00	0.25	0.02	0.36	0.52	1.24	0.05	0.25	1.21	0.24	2.82	0.33	0.04	2.03	1.96	0.00	1.22	MgO	0.07	13.00	0.05	11.33	10.07	4.83	1.10	12.81	4.82	13.02	2.50	13.54	1.49	6.44	2.87	0.51	13.94	CaO	0.26	0.12	1.30	0.18	0.22	0.35	0.10	0.15	0.30	0.30	0.76	0.79	0.99	0.16	0.11	0.84	0.28	Na ₂ O	0.00	0.00	0.03	0.01	0.00	0.00	0.09	0.00	0.00	0.05	0.12	0.00	0.01	0.06	0.12	0.04	0.06	K ₂ O	0.09	0.03	0.05	0.02	0.03	0.03	0.14	0.01	0.03	0.02	0.12	0.02	0.09	0.21	0.06	0.10	0.19	P ₂ O ₅	0.00	0.00	0.03	0.00	0.00	0.01	0.00	0.00	0.00	0.00	0.00	0.00	0.00	0.00	0.00	0.00	0.00	NiO	0.00	0.18	0.00	0.20	0.17	0.19	0.00	0.20	0.16	0.18	0.06	0.21	0.00	0.10	0.13	0.00	0.15	Total	89.53	100.44	89.16	101.00	99.69	99.99	89.22	99.51	98.92	100.26	92.96	98.34	87.66	90.86	93.16	88.13	91.82																																			
Structural formula based on the 32 Oxygens																																																																																																																																																																																																																																																																																															
Si	0.20	0.02	0.19	0.03	0.02	0.03	0.74	0.01	0.03	0.02	0.39	0.06	0.98	2.79	0.45	0.58	5.04	Ti	0.07	0.55	0.03	0.59	0.61	0.70	0.08	0.57	0.67	0.46	0.04	0.35	0.07	0.01	0.39	0.09	0.02	Al	0.17	8.12	0.30	7.99	7.94	7.77	0.56	8.12	7.82	8.48	1.67	8.99	0.64	1.69	6.38	0.38	3.48	Cr	0.04	3.96	0.03	3.91	3.96	4.12	0.09	3.97	3.99	3.87	3.92	3.87	0.03	2.65	3.67	0.10	1.55	Fe(ii)	8.15	3.89	7.75	4.46	4.79	6.54	8.25	3.92	6.51	3.77	6.36	3.35	8.00	7.46	7.15	8.14	7.32	Fe(iii)	15.25	2.77	15.23	2.86	2.84	2.64	13.72	2.73	2.79	2.69	9.56	2.32	13.22	6.07	4.25	14.17	0.83	Mn	0.00	0.05	0.01	0.07	0.11	0.27	0.01	0.05	0.26	0.05	0.71	0.07	0.01	0.50	0.47	0.00	0.27	Mg	0.03	4.60	0.02	4.04	3.67	1.83	0.52	4.58	1.84	4.59	1.11	4.80	0.71	2.79	1.20	0.24	5.40	Ca	0.09	0.03	0.44	0.05	0.06	0.10	0.03	0.04	0.08	0.08	0.24	0.20	0.34	0.05	0.03	0.29	0.08	Na	0.00	0.00	0.00	0.00	0.00	0.00	0.00	0.00	0.00	0.00	0.00	0.00	0.00	0.00	0.00	0.00	0.00	K	0.00	0.00	0.00	0.00	0.00	0.00	0.00	0.00	0.00	0.00	0.00	0.00	0.00	0.00	0.00	0.00	0.00	P	0.00	0.00	0.00	0.00	0.00	0.00	0.00	0.00	0.00	0.00	0.00	0.00	0.00	0.00	0.00	0.00	0.00	Ni	0.00	0.03	0.00	0.04	0.03	0.04	0.00	0.04	0.03	0.03	0.01	0.04	0.00	0.01	0.03	0.00	0.03	Total	24.00	24.00	24.00	24.00	24.00	24.00	24.00	24.00	24.00	24.00	24.00	24.00	24.00	24.00	24.00	24.00	24.00	Cr#	0.18	0.33	0.08	0.33	0.33	0.35	0.14	0.33	0.34	0.31	0.70	0.30	0.04	0.61	0.37	0.21	0.31	Fe ³⁺ #	0.98	0.18	0.97	0.19	0.19	0.18	0.95	0.18	0.18	0.17	0.60	0.15	0.94	0.58	0.31	0.96	0.14



شکل ۲: تصاویر صحرایی لمپروفیرهای موجود در منطقه پله‌اوند. تصویر A: تصویر صحرایی یکی از استوک‌های لمپروفیری منطقه. در دور دست دگرگونه‌های انارک دیده می‌شوند (نگاه به شرق). تصویر B: نمایی کلی از گدازه‌های لمپروفیری مورد بررسی (نگاه به غرب). تصاویر C، D و E: تصاویری از گدازه‌های بالشی لمپروفیری مورد بررسی. تصویر F: تصویر صحرایی لایه‌های نازک چرت و آهک که همراه سنگ‌های مورد بررسی دیده می‌شوند (نگاه به جنوب شرق).

پلازیوکلازها در اثر دگرگونی کف اقیانوس به پلازیوکلازهای غنی از سدیم یعنی آلبیت و الیگوکلاز تبدیل شده اند. بیشتر آمفیبول ها سالم و دست نخورده هستند اما بخش هایی از برخی از آمفیبول ها به کلریت تجزیه شده اند.

اسپینل ها نیز اغلب بطور کامل تبدیل به مگنتیت شده اند اما برخی از آنها فقط دارای حاشیه مگنتیتی هستند. ایجاد پلازیوکلازهای سدیک، پرشدن حفرات سنگ توسط کلسیت، تشکیل پومپلئیت، کلریتی شدن برخی از آمفیبول ها و تمام الیوین ها، و تشکیل لوکوکسن و اپیدوت، از شواهد رخداد دگرگونی کف اقیانوس و اسپیلیتی شدن این گدازه های بالشی دارد. اسپینل ها دارای حاشیه هایی شبیه خلیج خوردگی هستند و در اثر **Absorbtion** اندازه آنها از اطراف کوچکتر شده است. تصاویر میکروسکوپی واحد های سنگی مورد بررسی در شکل های ۳، ۴، و ۵ آورده شده است.

آنالیز نقطه‌ای کانی ها با استفاده از دستگاه الکترون مایکروپروف (EPMA) نشان می‌دهد که آمفیبول ها از نوع کرسوتیت، پلازیوکلازها از نوع آلبیت و الیگوکلاز، فلدسپات های پتاسیم از نوع سانیدین، و اسپینل ها نیز از نوع اسپینل های کروم و تیتاندار هستند (شکل ۶).

لمپروفیرهای نفوذی یا استوکها

لمپروفیرهای نفوذی های موجود در منطقه مورد بررسی از پلازیوکلاز و آمفیبول به عنوان کانی های اصلی و فلدسپات پتاسیم، اسپینل، ایلمنیت، اسفن، آپاتیت،

پتروگرافی و شیمی کانی ها گدازه های بالشی

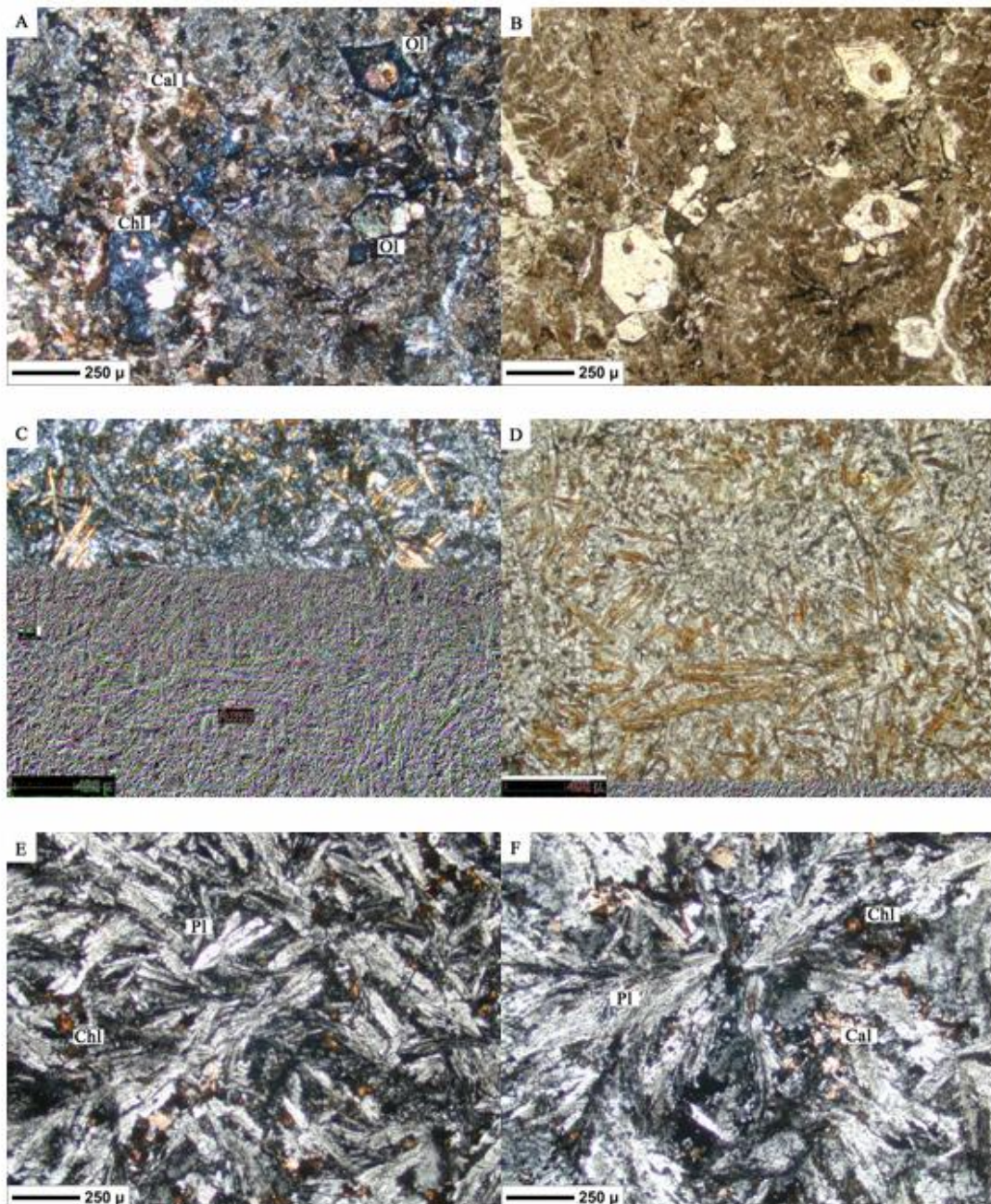
گدازه های بالشی از پلازیوکلاز و آمفیبول به عنوان کانی های اصلی، و الیوین کلریتی، فلدسپات پتاسیم، اسپینل، ایلمنیت، مگنتیت، اسفن و کلسیت به عنوان کانی های فرعی تشکیل شده اند. بافت این سنگ ها میکرولیتی و واریولیتیک بوده و حفره های آنها توسط کلسیت پر شده اند. در اثر دگرسانی، برخی از اسفن ها و ایلمنیت ها تبدیل به لوکوکسن شده اند.

در بررسی های پتروگرافی به خوبی مشخص است که برخی از نمونه ها دارای مقدار الیوین قابل توجه بوده (حدود ۱۰%) و بعضی نیز دارای آمفیبول فراوان (حدود ۲۰%) هستند. اما در هر حال فلدسپات ها به همراه آمفیبول ها از تشکیل دهنده های اصلی هستند.

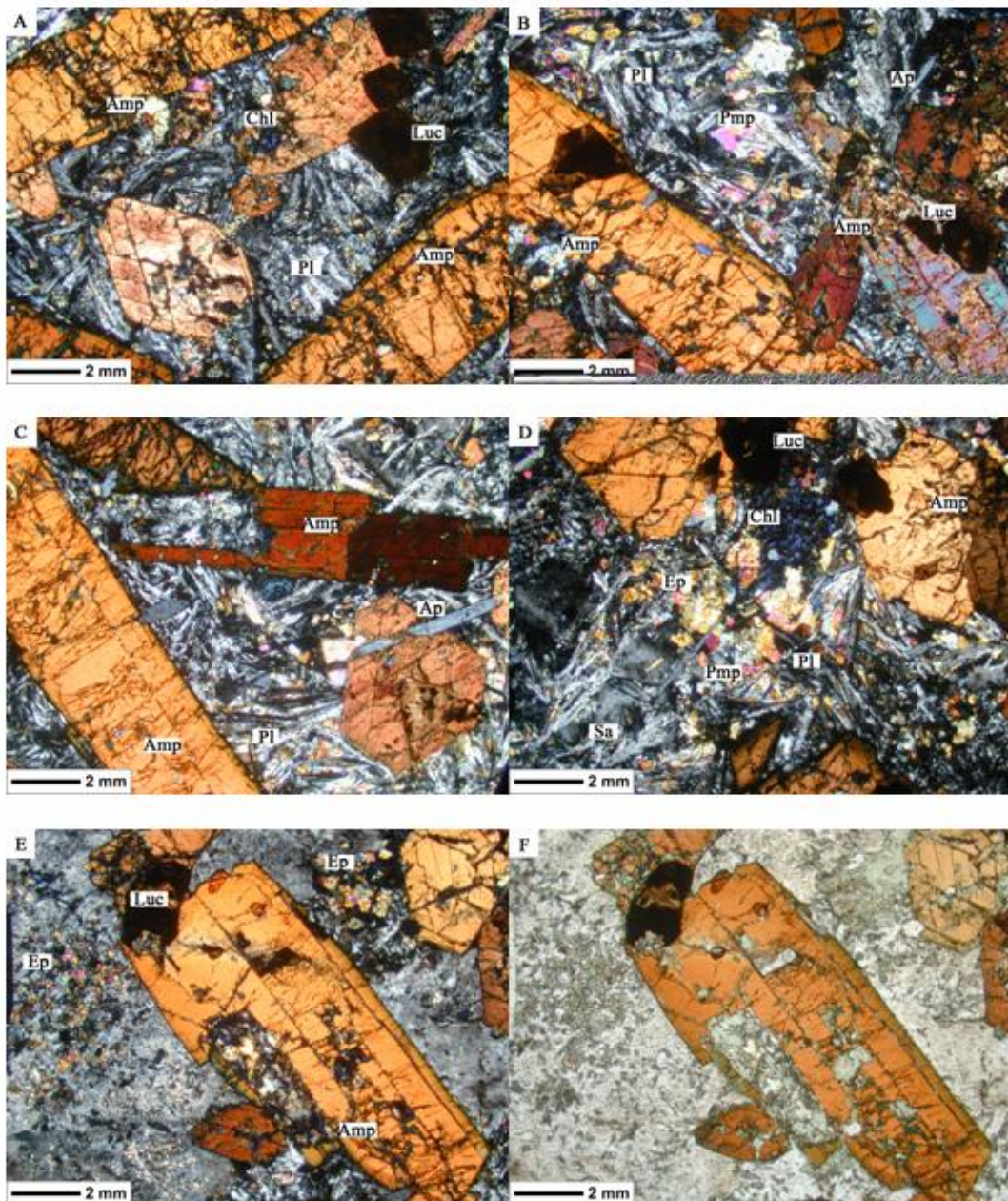
فلدسپات های پتاسیم به همراه پلازیوکلازها فقط در زمینه این سنگ ها و در لابلای کانی ها براحتی قابل تشخیص هستند. فراوان تر بودن پلازیوکلازها نسبت به فلدسپات های پتاسیم در زمینه سنگ براحتی قابل تشخیص بوده که یکی از مشخصات لمپروفیرهای نوع کمپتونیت است. برخی از گدازه های نیز دارای آمفیبول و الیوین بسیار کم و فلدسپات بسیار زیاد هستند که دلیل این تنوع کانی شناسی رخداد تفرقی و جدایش می باشد. بافت واریولیتیک در گدازه های دارای فلدسپات فراوان بخوبی قابل مشاهده است که دلیل تشکیل آن، سرد شدن سریع گدازه می باشد.

و آپاتیت‌های موجود در این سنگ‌ها گاهی به ۳ سانتی‌متر نیز می‌رسد (شکل ۴).

مگنتیت، اپیدوت، پومپلیت، کلریت، لوکوکسن و کلسیت به عنوان کانی‌های فرعی تشکیل شده‌اند. اندازه آمفیبول‌ها



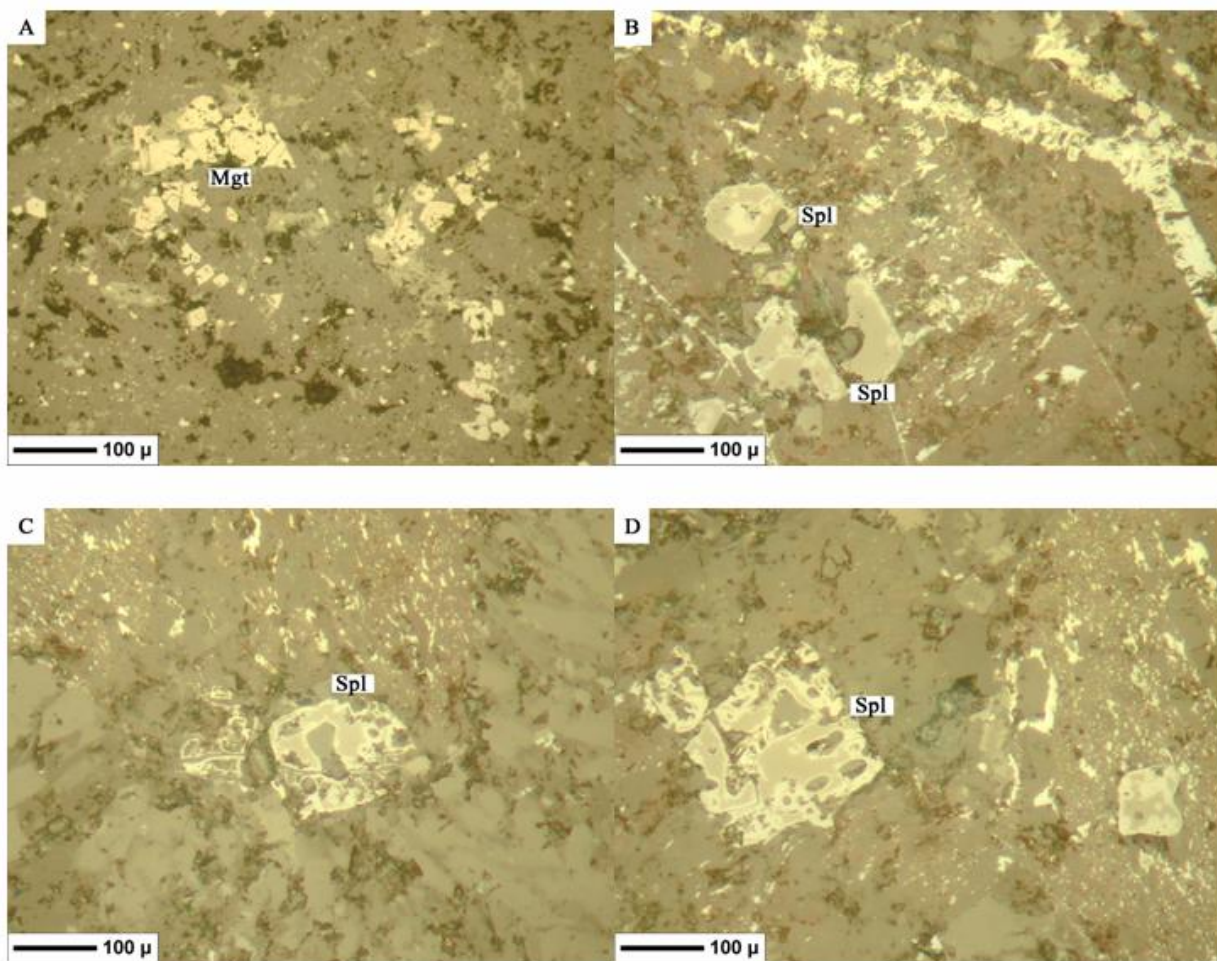
شکل ۳: تصاویر میکروسکوپی گذاره‌های بالشی لمپروفیری. در این سنگ‌های ولکانیک نمونه‌های دارای الیوین فراوان (A، B)، نمونه‌های دارای آمفیبول فراوان (C، D) و نمونه‌های دارای فلدسپات فراوان (E، F) دیده می‌شوند که به دلیل رخداد تفریق و جدایش می‌باشد.



شکل ۴: تصاویر میکروسکوپی لمپروفیرهای نفوذی منطقه پله‌وند که در بررسی‌های صحرایی به صورت استوک (Plug) دیده می‌شوند. یکنواختی کانی‌شناسی و باقی این سنگ‌ها در بررسی‌های پتروگرافی بخوبی مشخص می‌باشد. دلیل ارایه تصاویر میکروسکوپی متعدد و مشابه در این شکل بیان یکنواختی پتروگرافی و کانی‌شناسی این سنگ‌ها است. درشتی آمفیبول‌ها و آپاتیت‌ها، و همچنین وجود کانی‌های پومپلیت، کلریت، اپیدوت، پلاژیوکلاز و سانیدین در زمینه این سنگ‌ها بخوبی مشخص است.

آمده‌اند. آمفیبول ها نیز سالم و دست نخورده هستند اما اسپینل‌های موجود در این سنگ‌ها در اثر دگرسانی از اطراف به مگنتیت تبدیل شده‌اند (شکل ۵).

این سنگ‌ها دارای بافت ایترسرتال و پورفیری هستند. در این سنگ‌ها فقط آمفیبول‌ها و آپاتیت‌ها بصورت پورفیر دیده می‌شوند. پلازیوکلازها به همراه فلدسپات‌های پتاسیم تنها در زمینه سنگ قرار دارند. لوکوکسن‌ها از دگرسانی اسفن‌ها و ایلمنیت‌ها بدست



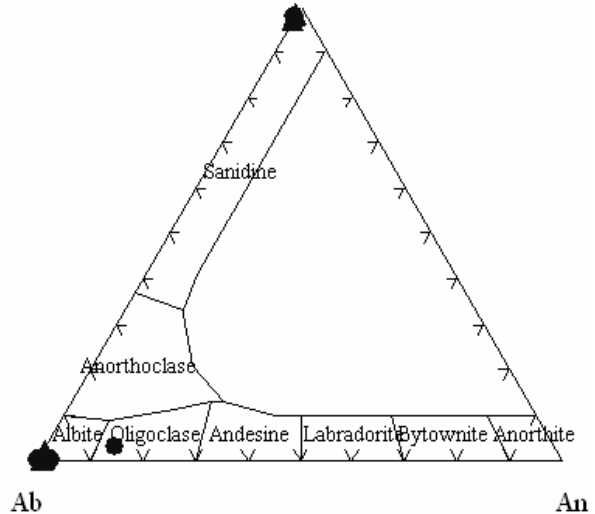
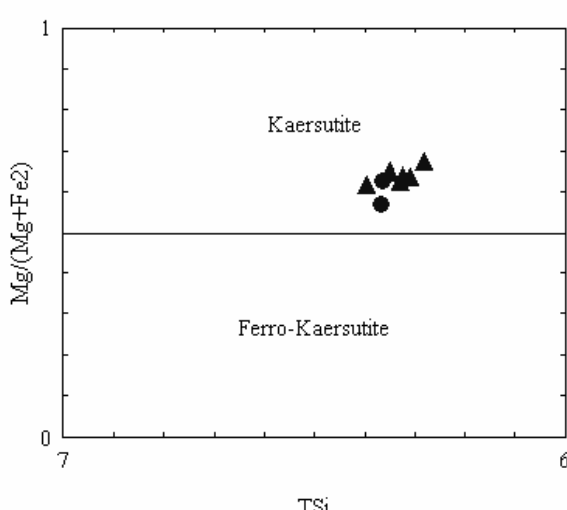
شکل ۵: تصاویر میکروسکوپ انعکاسی از اسپینل‌های موجود در لمپروفیرهای منطقه پله‌اوند. برخی از این اسپینل‌ها فقط دارای حاشیه مگنتیتی هستند در صورتی که بیشتر اسپینل‌ها در اثر آتراسیون کاملاً به مگنتیت تبدیل شده‌اند. وجود حاشیه‌های خورده شده که شبیه خلیج خورده‌گی می‌باشد در بررسی‌های میکروسکوپی این کانی بخوبی مشخص است.

دارند. تبدیل شدن پلاژیوکلازهای بازیک به آلبیت، تشکیل کلریت از الیوین‌ها و برخی از آمفیبیول‌ها، وجود اپیدوت با فاکتور Ps قابل توجه ($\%30$) و ایجاد لوکوكسن از اسفن‌ها و ایلمنیت‌ها نشان می‌دهد که این سنگ‌ها دگرگونی کف اقیانوس را در رخساره شیست سیز سپری نموده‌اند. وجود بافت پوروفیری در استوک‌ها، غنی بودن این سنگ‌ها از نظر کانی‌های دارای مواد فرار (آمفیبیول فراوان)، وجود آمفیبیول آلکالی (کرسوتیت)، و بیشتر بودن پلاژیوکلاز نسبت به فلدوسپات‌های پتاسیم در زمینه سنگ، نشان دهنده این مطلب است که در تقسیم بندي انواع لمپروفیر‌ها، نام سنگ‌های مورد بررسی کمپتونیت (Camptonite) است (Woolley et al., 1996)

بطور کلی کانی‌های تشکیل دهنده استوک‌ها نسبت به کانی‌های سازنده گدازه‌های بالشی سالم‌تر باقی مانده‌اند. این سنگ‌ها از نظر بافتی و ترکیب کانی‌شناسی یکنواخت هستند.

بررسی شیمی کانی‌ها نشان می‌دهد که نوع پلاژیوکلازها آلبیت، نوع آمفیبیول‌ها کرسوتیت، و نوع کلریت‌ها برونسویگیت می‌باشد (شکل ۶). در مورد اپیدوت‌ها فاکتور Ps برابر با $\%30$ می‌باشد. فاکتور Ps که در مورد اپیدوت‌ها از آن استفاده می‌شود نشان دهنده درصد مولکول‌های پیستاسیت (Pistacite Molecule) بوده که بصورت $Ps\% = 100 * Fe^{3+} / (Al^{vi} + Fe^{3+})$ محاسبه شود.

با توجه به بررسی‌های صحرایی، پتروگرافی و شیمی کانی‌ها می‌توان گفت که گدازه‌های لمپروفیری و لمپروفیرهای نفوذی شباهت بسیار زیادی به یکدیگر



شکل ۶: نمودارهای تعیین کننده نام آمفیبیول‌ها و پلاژیوکلازها. کانی‌های متعلق به گدازه‌های بالشی با علامت دایره و کانی‌های استوک‌ها با علامت مثلث جانمایی شده‌اند.

ژئوشیمی

ژئوشیمی عناصر اصلی، سری ماقمایی و شاخص

آلومین

نتایج حاصل از آنالیزهای ژئوشیمیایی این سنگ‌ها نشان می‌دهد که مقدار SiO_2 آنها از ۴۰ تا ۵۲ درصد می‌باشد که نشان دهنده اولترابازیک تا بازیک بودن آنها است. مقدار TiO_2 این سنگ‌ها به ۴/۹٪ نیز می‌رسد که مقدار بسیار قابل توجهی بوده و از مشخصات لمپروفیرها است.

مقدار Na_2O در این سنگ‌ها به ۸/۴٪ نیز می‌رسد که نشان دهنده غنی بودن آنها از نظر سدیم می‌باشد. هرچند که در اثر متازوماتیسم آب دریا و دگرگونی کف اقیانوس، مقداری سدیم به سنگ اضافه شده است. این نمونه‌ها از نظر عناصر نادر خاکی سبک بسیار غنی هستند. بررسی‌های ژئوشیمیایی و استفاده از نمودارهای مربوطه نیز مشخص می‌نماید که این سنگ‌ها متعلق به سری ماقمایی آلکالن بوده (شکل ۷A) و از نظر نامگذاری، محدوده‌های بازانیت، تفریت، فنوتفریت، و تراکی بازالت را به خود اختصاص می‌دهند (شکل ۷B). لازم به ذکر است که دگرگونی کف اقیانوس و اسپیلیتی

شدن در نامگذاری این سنگ‌ها براساس مقدار سیلیس و

عناصر آلکالی می‌تواند موثر باشد و نمونه‌ها را به سمت بالاتر حرکت دهد. اما استفاده از نمودارهایی که براساس عناصر نادر خاکی و کمیاب هستند نیز بیانگر آلکالن بودن این سنگ‌ها و ارتباط آنها با یک گوشه غنی شده است (شکل ۷C,D). این سنگ‌ها از ذوب بخشی درجه کم یک گوشه غنی شده بدست آمده‌اند و از نظر وضعیت آلومینیوم، متالومینوس هستند (شکل ۷E).

ژئوشیمی عناصر کمیاب و نادر خاکی

نمونه‌های مورد بررسی از نظر عناصر نادر خاکی سبک نسبت به کندریت بطور متوسط بیش از ۱۰۰ برابر غنی‌تر بوده و از نظر عناصر نادر خاکی سنگین نیز بیش از ۱۰ برابر غنی‌تر هستند. در (شکل ۷F) نمودار بهنجارسازی تمامی نمونه‌ها نسبت به کندریت همراه با هم ارایه گردیده است. دلیل متفاوت بودن یکی از نمونه‌های مورد بررسی در برخی از نمودارها نسبت به سایر نمونه‌ها، جدایش فلدسپات و غنی بودن آن از فلدسپات‌ها است.

جدول ۵: نتایج آنالیز لمپروفیرهای نفوذی موجود در منطقه پله‌اوند با استفاده از روش فعال‌سازی نوترونی (NAA). نتیجه آنالیز آمفیبول‌های جدا شده نیز در ستون سمت راست آورده شده است.

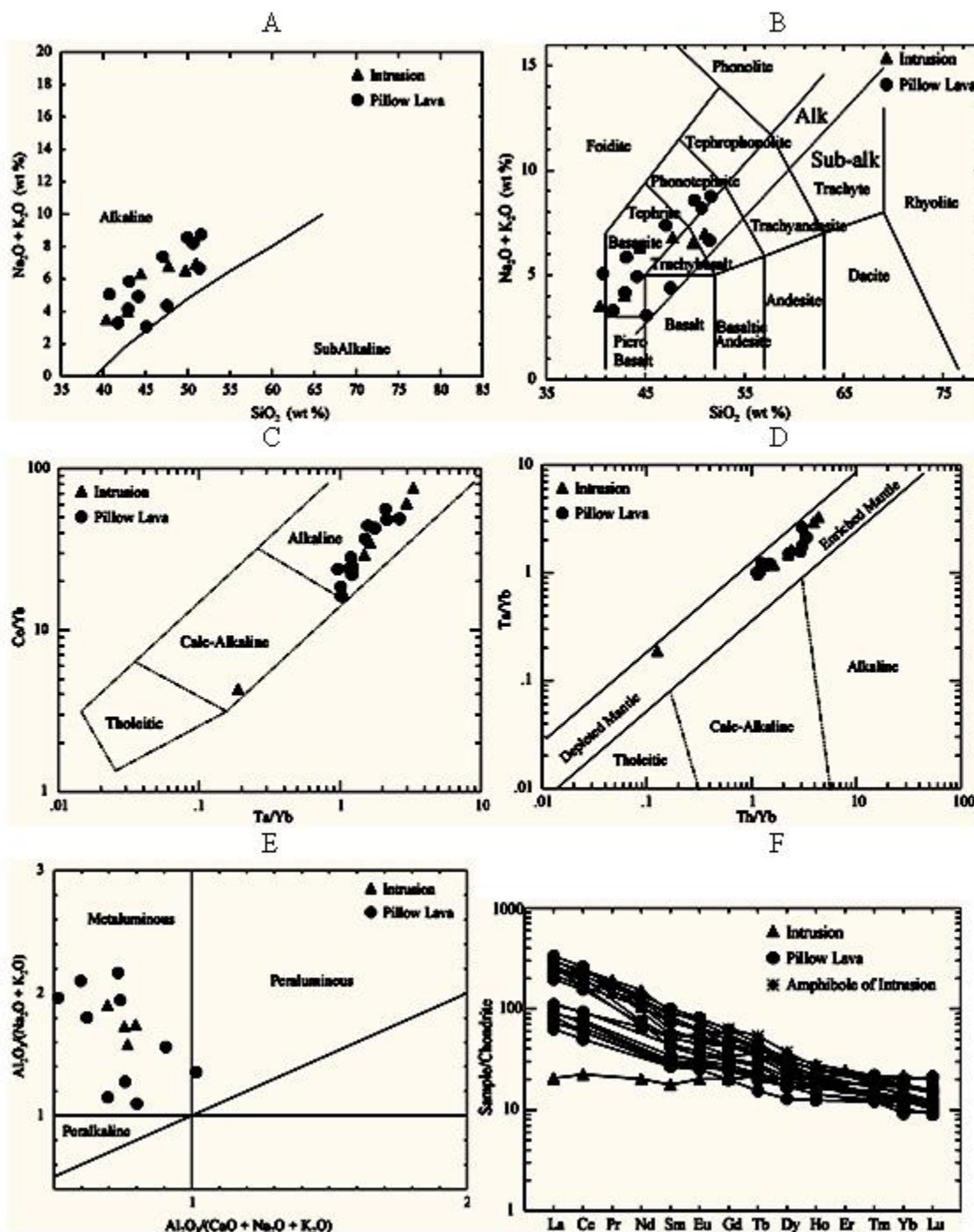
Sample	87	100	102	F-316-1	326	F-326-1	Amph-102
Rock type	Lamproph	Lamproph	Lamproph	Lamproph	Lamproph	Lamproph	Amphibole
SiO ₂ %	42.91	40.39	44.45	47.74	50.99	49.75	---
TiO ₂ %	1.67	3.75	4.90	3.06	2.17	1.90	9.74
Al ₂ O ₃ %	13.76	14.89	16.95	17.19	17.75	18.14	14.10
Fe ₂ O ₃ *%	12.47	16.41	11.17	11.09	10.17	10.71	17.27
MnO%	0.19	0.21	0.14	0.15	0.15	0.17	0.22
MgO%	8.32	7.29	5.60	3.90	3.32	3.06	9.42
CaO%	15.46	10.26	8.54	7.05	6.56	6.81	10.72
Na ₂ O%	3.72	1.29	3.60	4.58	6.50	5.92	2.17
K ₂ O%	0.30	2.23	2.75	2.22	0.48	0.62	1.45
LOI%	1.20	3.27	1.90	1.89	1.92	2.29	---
Total	99.92	99.97	100.05	98.87	100.01	99.37	---
Cr	118	19	---	---	298	---	---
Ni	<110	<100	<45	9	201	---	<170
Co	58	74	37	25	23	25.8	66.64
Sc	46.33	39.08	16.14	---	6.46	---	46.56
V	408	554	95	71	62	64	195
Zn	117	108	100	497	86	117	180
Sb	<0.20	0.63	1.51	0.16	0.21	0.34	<0.35
Rb	<20	44	30	20	<10	8.39	<35
Ba	<130	<170	1200	2531	402	371	311
Sr	<300	922	2700	1141	504	605	2000
Ga	<8	26	<10	23	<20	25.4	18
Ta	<0.60	2.63	7.02	6.51	5.18	5.5	10.02
Hf	2.24	4.56	9.76	10.7	5.89	6.36	12.88
Zr	<110	<90	153	497	<140	309	<160
Th	<0.40	3.61	9.29	8.62	7.82	8.12	3.34
U	<0.60	<0.40	1.22	1.94	1.9	1.87	<1
La	4.84	27.16	71.09	68.30	60.84	58.60	61.84
Ce	13.73	55.93	144.80	150.00	101.89	117.00	130.96
Nd	9.24	30.12	58.49	69.90	48.71	54.70	57.70
Sm	2.63	8.23	12.30	13.80	9.26	11.20	13.37
Eu	1.14	2.87	3.53	4.19	2.72	3.42	4.38
Gd	4.02	8.61	10.96	10.90	9.10	9.94	12.64
Tb	0.77	1.19	1.53	1.46	1.27	1.49	1.94
Dy	4.91	5.67	6.29	7.22	7.40	8.24	9.21
Ho	1.16	1.13	1.20	1.17	1.36	1.53	1.47
Tm	0.55	0.43	0.41	0.33	0.47	0.54	0.44
Yb	3.18	2.22	2.37	1.97	3.48	3.37	2.18
Lu	0.52	0.29	0.30	0.27	0.48	0.49	0.29

جدول ۶: نتایج آنالیز گدازه‌های بالشی لمپروفیری موجود در منطقه پله‌اوند با استفاده از روش فعال‌سازی نوترونی (NAA).

Sample	88-1	91	90	88	92	88	325	314	97	99	95	89	Var
Rock type	Pill. Lava	Margin	Pill. Lava	Margin	Inner Par	Inner Par	Pill. Lava	Pill. Lava	Pill. Carb.	Pill. Lava	Pill. Lava	Inner Par	Variols
SiO ₂ %	40.73	41.73	44.16	45.11	42.93	43.07	47.54	51.44	34.57	49.95	47.06	50.65	51.60
TiO ₂ %	4.10	3.82	3.57	3.54	3.49	3.37	3.24	2.05	2.00	1.90	1.85	1.40	3.04
Al ₂ O ₃ %	15.02	13.78	13.93	12.08	13.95	15.86	13.15	16.33	12.10	15.99	15.25	14.61	17.71
Fe ₂ O ₃ %	15.64	15.64	13.67	15.58	14.10	12.74	13.71	13.31	7.85	12.87	16.46	17.97	10.71
MnO%	0.17	0.23	0.14	0.22	0.18	0.14	0.19	0.15	0.14	0.09	0.14	0.04	0.07
MgO%	7.84	10.66	7.87	9.38	8.21	7.79	5.54	2.93	3.30	3.37	4.34	2.80	4.36
CaO%	7.47	7.01	8.12	7.85	9.22	7.29	10.37	4.16	20.05	5.01	4.51	2.73	2.41
Na ₂ O%	2.59	1.05	4.26	1.11	3.80	3.26	3.49	5.77	5.27	8.24	7.02	7.84	6.33
K ₂ O%	2.47	2.25	0.67	1.96	0.36	2.59	0.89	0.89	0.27	0.33	0.36	0.36	2.43
LOI%	3.96	3.83	3.61	3.17	3.77	3.89	1.88	2.96	14.46	2.27	3.01	1.59	1.34
Total	99.99	100.01	100.00	99.93	100.09	100.12	100.00	99.99	100.01	100.02	99.97	99.99	99.89
Cr	480	435	413	436	470	359	516	222	---	---	---	---	---
Ni	<90	255	<90	<110	222	177	260	<60	<50	<60	<70	<60	<70
Co	85	99	87	94	92	69	61	31.63	18	23	25	11	31
Sc	30.68	34.78	29.67	31.49	28.08	27.53	27.34	8.58	4.18	4.25	4.66	3.87	8.5
V	261	286	291	287	267	245	264	52	24	20	13	14	56
Zn	122	133	130	126	102	94	78	127	65	104	92	23	53
Sb	0.48	0.65	0.3	0.39	0.97	<0.15	0.24	<0.15	<0.14	<0.18	<0.16	<0.15	<0.15
Rb	70	60	<18	66	<25	58	<12	26	15	<15	<15	<15	82
Cs	2.65	<0.80	<0.60	1.65	<1	<0.60	<0.50	<0.44	<0.35	<0.40	<0.50	<0.40	0.85
Ba	214	<110	<130	199	<120	238	<100	<180	<120	<200	<140	<110	467
Sr	<230	<300	<230	<270	<350	<220	<80	565	<140	178	193	<150	335
Ta	2.42	2.02	1.9	1.94	2.16	2.14	1.83	7.21	4.24	5.99	5.16	5.12	4.24
Hf	4.74	4.86	4.53	4.84	4.09	3.85	3.75	8.92	6.56	9.81	10.72	9.75	7.28
Zr	<80	<110	<80	<100	<120	<80	<100	379	84	155	266	166	138
Th	2.89	2.43	2.27	2.29	2.42	2.48	1.85	8.27	6.6	9.5	9.61	8.83	6.43
U	<0.50	<0.50	<0.50	1.49	<0.60	<0.50	<0.35	1.76	<0.50	<0.60	1.95	<0.60	<0.50
La	25.79	17.40	21.45	14.98	17.06	21.94	19.93	71.73	46.54	79.11	69.59	57.94	51.05
Ce	57.23	36.52	47.13	30.70	39.72	44.05	36.42	133.81	95.55	159.30	144.97	124.21	103.55
Nd	---	---	---	---	---	---	---	33.05	---	62.52	34.53	30.93	
Sm	6.59	4.26	5.11	3.96	4.52	4.59	4.03	10.79	6.21	8.32	14.86	7.80	7.55
Eu	2.14	1.50	1.76	1.42	1.69	1.55	1.60	3.56	1.94	3.08	4.57	2.48	2.58
Gd	6.48	4.86	5.49	3.96	5.00	4.97	4.83	8.35	6.18	8.68	12.33	6.83	8.46
Tb	1.02	0.71	0.83	0.56	0.75	0.83	0.81	1.33	0.97	1.45	1.67	1.29	1.27
Dy	5.20	4.20	4.22	3.16	4.08	4.76	4.26	6.17	4.69	7.40	7.70	6.79	5.51
Ho	0.95	0.78	0.90	<0.68	<1	0.92	<0.78	1.08	0.92	1.40	<1.40	1.21	1.04
Tm	0.37	0.31	0.35	0.30	0.37	0.33	0.30	0.42	0.35	0.47	0.54	0.51	0.43
Yb	2.03	1.66	1.97	1.90	2.14	1.84	1.49	2.73	1.97	2.84	3.28	2.90	2.82
Lu	0.30	0.22	0.25	0.31	0.27	0.29	0.24	0.36	0.28	0.39	0.52	0.38	0.37

می‌گردد. از طرفی یکی از نمونه‌های مورد بررسی که دارای فلدسپات فراوان بوده و در نمودارهای مختلف روندی متفاوت از خود نشان می‌داد، در هنگام نرمالیز شدن در برابر کندریت، روندی افقی از خود نشان می‌دهد که نشان‌دهنده موثرتر بودن آمفیولها در حمل عناصر نادر خاکی و فقیرتر بودن فلدسپات‌ها از نظر عناصر نادر خاکی است.

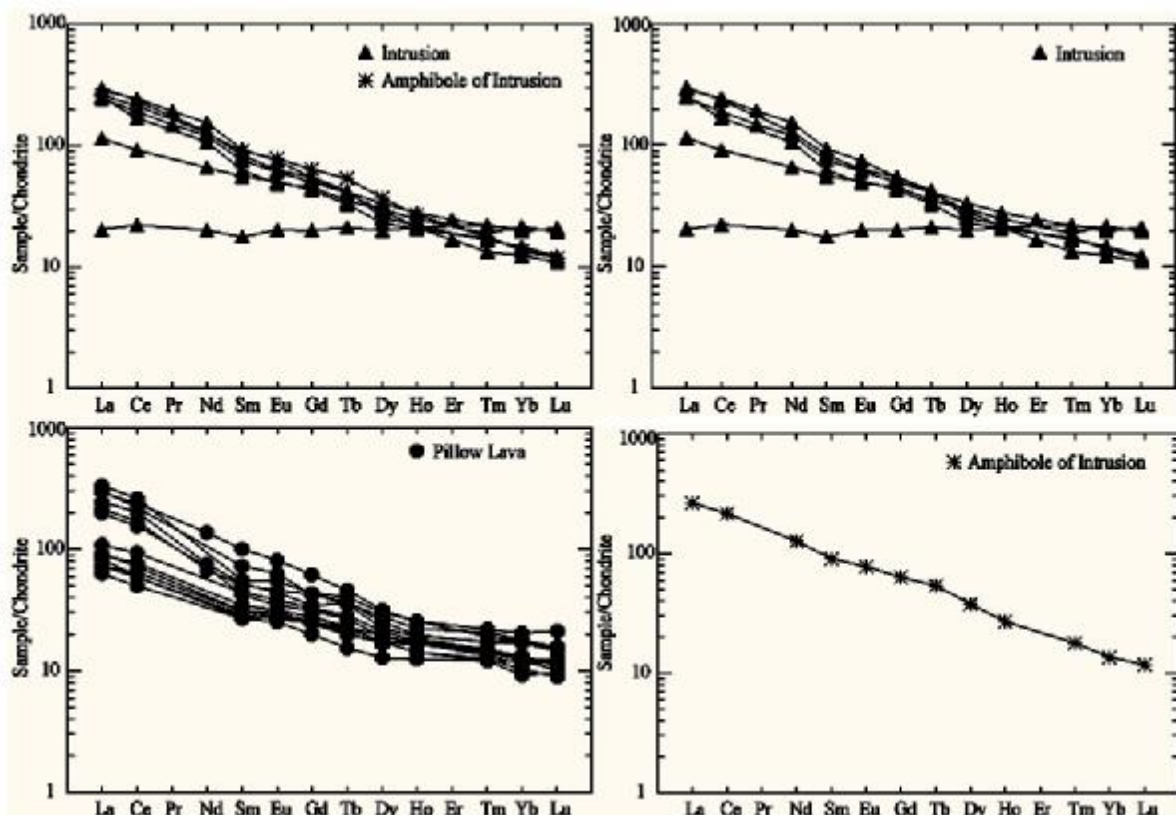
نمایش جدأگانه هرکدام از واحدهای سنگی و نرمالیز کردن آن نسبت به کندریت در شکل ۸ نشان می‌دهد که نمونه‌های مورد بررسی در این نمودار دارای شبی منفی بوده و فراوانی عناصر نادر خاکی در آمفیولهایی که از درون سنگ جداسازی شده بودند با سنگ‌های در برگیرنده شباهت بسیار زیادی دارد. این مطلب بیان می‌دارد که تمامی عناصر نادر خاکی موجود در نمونه‌های مورد بررسی توسط آمفیولها حمل



شکل ۷: نمودارهای تعیین کننده نوع سری ماقمایی، نام سنگ‌ها، شرایط سنگ منشا و گوشته مربوطه، وضعیت آلومینیوم و نرمالیز شدن سنگ‌های مورد بررسی در برابر کندریت. A: برگرفته از (Le, 1971)، B: برگرفته از (Irvine & Baragar, 1971)، C: برگرفته از (Maniar and piccoli, 1989)، D: برگرفته از (Pearce, 1982) و E: Maitre et al., 2002)

سرعت صعود و سرد شدن آنها می‌باشد که باعث گردیده یکی از آنها بصورت گدازه‌های بالشی و دیگری بصورت استوک‌های نفوذی دیده شود. ایجاد ساخت بالشی نیز نشان‌دهنده عمیق بودن محیط آبی در هنگام فوران گدازه‌ها به کف دریا است.

مقایسه مقدار عناصر اصلی، کمیاب و نادر خاکی موجود در سنگ‌های مورد بررسی و استفاده از نمودارهای تفکیک کننده مختلف، به همراه داده‌های حاصل از شباهت‌های کانی‌شناسی و پتروگرافی نشان می‌دهد که گدازه‌های بالشی و استوک‌ها دارای منشا و شرایط تشکیل یکسانی هستند و تنها اختلاف آنها در



شکل ۸: نمایش جداگانه هر کدام از واحد‌های سنگی و نرمالیز کردن آن نسبت به کندریت.

این گروه‌های سنگی دارای ویژگی‌های کانی‌شناسی و ژئوشیمیایی مخصوص به خود بوده و برپایه ویژگی‌های پتروگرافی و ژئوشیمیایی از یکدیگر قابل تفکیک هستند. استفاده از ترکیب شیمیایی سنگ‌های گروه ۵ (Rock, 1991) سنگ‌های لمپروفیری را به ۵ گروه تقسیم‌بندی نمود:

- ۱- لمپروفیرهای کالک آنکالن
- ۲- لمپروفیرهای آلکالن
- ۳- لمپروفیرهای اولترامافیک
- ۴- کیمبرلیت‌ها
- ۵- لمپروئیت‌ها

بحث

منشاء لمپروفیرها

سنگ‌های لمپروفیری در ۱۹۹۱ (Rock, 1991)

تقسیم‌بندی نمود:

۱- لمپروفیرهای کالک آنکالن

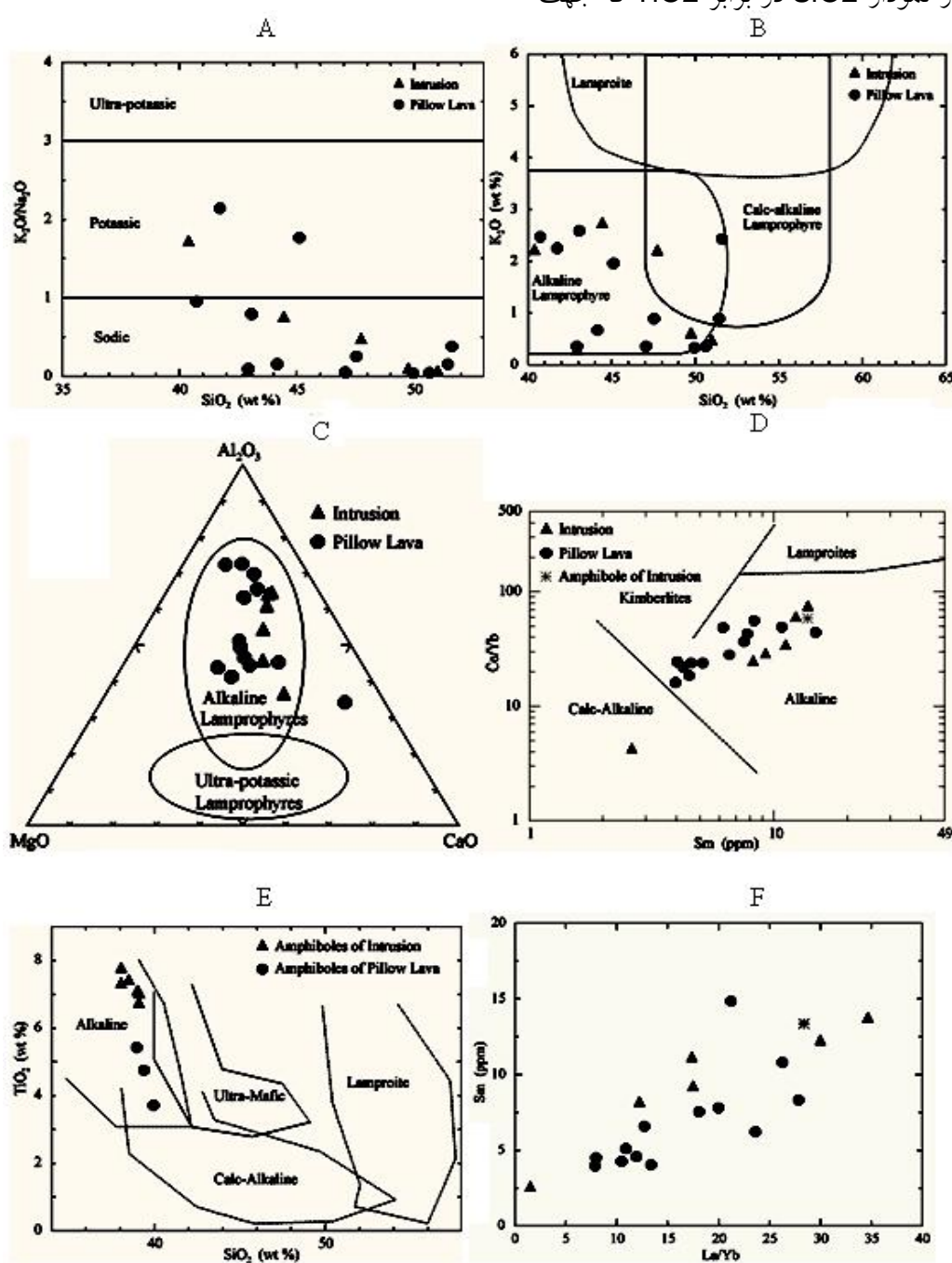
۲- لمپروفیرهای آلکالن

۳- لمپروفیرهای اولترامافیک

۴- کیمبرلیت‌ها

۵- لمپروئیت‌ها

تفکیک انواع سنگ‌های لمپروفیری براساس ترکیب شیمیایی آمفیبولوها است، نیز بیانگر آکالان بودن سنگ‌های لمپروفیری مورد بررسی است (شکل ۹E).



شکل ۹: نمودارهای عناصر اصلی و عناصر نادر خاکی که بیانگر تعلق سنگ‌های مورد بررسی به گروه لمپروفیرهای آکالان می‌باشد. A: برگرفته از (Rock, 1987) و C, B: (Jaques et al., 1985) E: برگرفته از (Rock, 1987) و F: نمودار La/Yb-Sm (ppm) (1991)

نمودارهایی که براساس استفاده از این عناصر هستند، بیانگر این موضوع است که لمپروفیرهای منطقه پله‌آوند از نوع لمپروفیرهای آکالان هستند (شکل‌های B, C, D). استفاده از نمودار SiO_2 در برابر TiO_2 که جهت

لرزولیت است، در اثر متازوماتیسم غنی شده باشد (Menzies and Wass, 1983).

محیط تکتونیکی لمپروفیرها

سنگ‌های آلکالن از نظر محیط تکتونیکی تشکیل به ۳ گروه تقسیم می‌شوند (Blichert-Toft et al., 1996):

- ۱- ریفت‌های درون قاره‌ای و ماجماتیسم درون صفحه‌ای
- ۲- ماجماتیسم درون صفحه‌ای اقیانوسی
- ۳- ماجماتیسم آلکالن مرتبط با فرورانش (جزایر قوسی و قوس‌های قاره‌ای)

Muller et al., (1992 and 1993) معتقد است که ژئوشیمی لمپروفیرها بیانگر محیط تکتونیکی تشکیل آنها است که در این مورد نمودارهای ژئوتکتونیکی مختلفی نیز وجود دارد. مقدار قابل توجه TiO_2 در سنگ‌های مورد بررسی نشان از عدم ارتباط این سنگ‌ها با مناطق فرورانش، قوس‌های مناطق قاره‌ای و محیط‌های اقیانوسی است (شکل های A, B, 10A, 10B). استفاده از نمودارهایی که براساس عناصر نادر خاکی و عناصر کمیاب موجود در این سنگ‌ها هستند نیز نشان می‌دهد که سنگ‌های لمپروفیری منطقه پله‌وند متعلق به محیط‌های درون قاره‌ای بوده و ارتباطی با مناطق فرورانش ندارند (شکل های C, D, 10C, 10D). اسپینل‌ها نیز کانی‌های بسیار مهمی هستند که ترکیب شیمیایی آنها یک شاخص پتروژنیک بوده و از آنها می‌توان در تعکیک (Mata محیط‌های تکتونیکی مختلف استفاده نمود

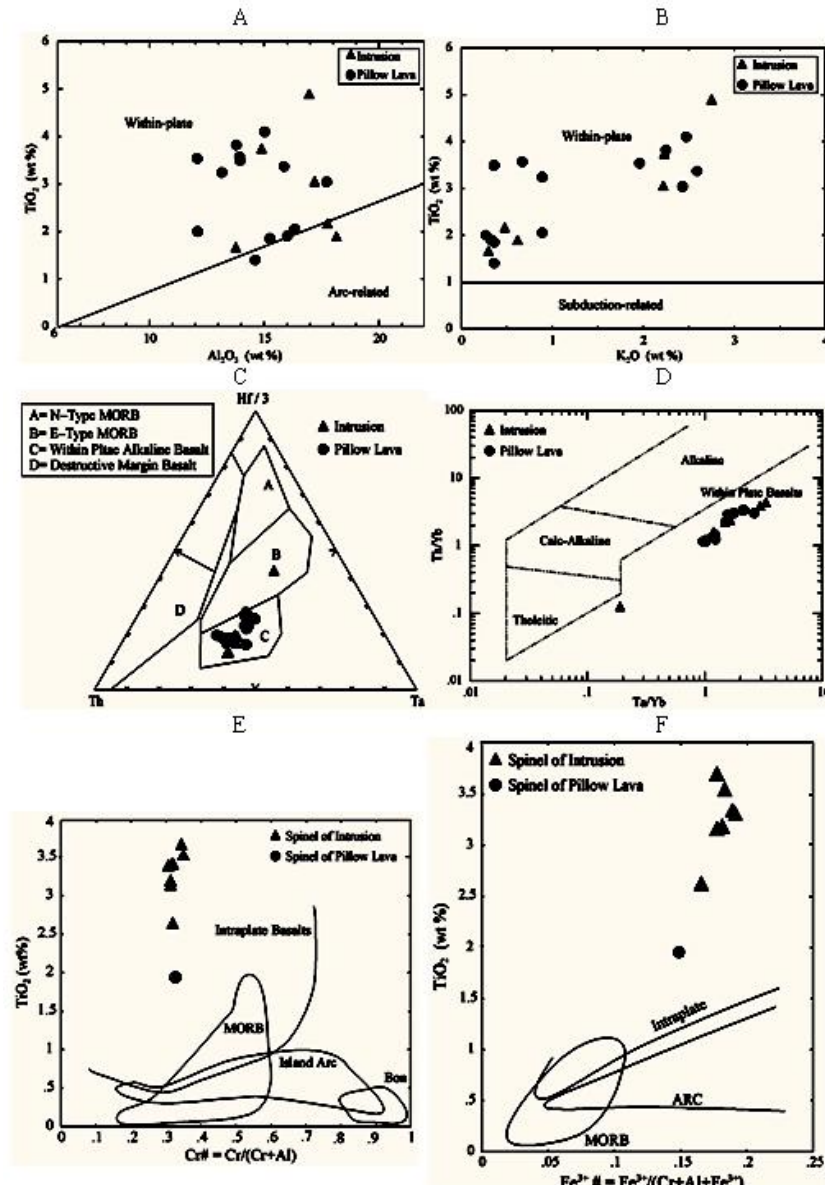
نمودار La/Yb-Sm که بیانگر نسبت عناصر نادر خاکی سبک به عناصر نادر خاکی سنگین، و همچنین نقش آمفیبول در تشکیل این سنگ‌ها است، نیز نشان می‌دهد که گدازه‌های بالشی و استوک‌ها از نظر طرز تشکیل شباهت بسیار زیادی به یکدیگر داشته و نمونه‌های آنالیز شده در این نمودار در همه جای آن همراه با هم دیده می‌شوند. فرایندهایی که باعث تشکیل سنگ‌های لمپروفیری می‌گردند عبارتند از:

- ۱- آلاش ماجمای اولترابازیک با مواد پوسته ای (McDonald et al., 1985)
- ۲- تفریق شدید ماجمای بازیک غنی از CO_2 و H_2O (Currie and Williams, 1993)
- ۳- ذوب بخشی درجه کم گوشته متازوماتیز شده زیر قاره (Rock, 1987, 1991)

بررسی‌های صحرایی و پتروگرافی به همراه نبود زنولیت‌هایی با منشا گوشته و یا پوسته در سنگ‌های مورد بررسی، تاثیر فرایندهای اول و دوم در تشکیل سنگ‌های لمپروفیری منطقه پله‌وند را رد می‌نماید. در حالی که مقادیر بسیار بالای عناصر نادر خاکی سبک (LREE) و مقدار بسیار بالای نسبت La/Lu نشان می‌دهد که این لمپروفیرها از ذوب بخشی درجه بسیار پایین یک گارنت لرزولیت بدست آمده‌اند (Hirschmann et al., 1999; Mitchell and Bergman, 1991; Riley et al., 2003). به منظور تشکیل چنین مذاب‌هایی که از نظر عناصر نادر خاکی سبک و عناصر ناسازگار بسیار غنی هستند، قبل از ذوب بخشی لازم است که سنگ منشا که یک گارنت

آنها نیز بیانگر تعلق آنها به محیط‌های درون صفحه‌ای است (شکل‌های E, F).

and Munha, 2004) در این سنگ‌ها و مقدار قابل توجه TiO_2 در ساختار



شکل ۱۰: نمودارهای مختلف بیانگر تعلق نمونه‌های مورد بررسی به ماگماتیسم درون صفحه قاره‌ای است.
A: برگرفته از (Wood, 1980)
B: برگرفته از (Muller et al., 1993)
C: برگرفته از (Arai, 1992)
D: برگرفته از (Pearce, 1982)

بررسی (که نشان از درجه ذوب بخشی پایین است)، موقعیت منطقه مورد مطالعه که در نزدیکی حاشیه غربی خرد قاره شرق - ایران مرکزی است، و رخنمون این سنگ‌ها در امتداد گسل ژرف و بسیار طولانی ترکمنی -

داده‌های حاصل از بررسی‌های صحرایی، پتروگرافی و ژئوشیمی سنگ‌ها و کانی‌ها نشان از رخداد یک ماگماتیسم لمپروفیری در امتداد گسل ترکمنی - اوردیب در پالئوزوئیک بالایی دارد. حجم کم سنگ‌های مورد

- 4- S., Arai, Chemistry of chromian spinel in volcanic rocks as a potential guide to magma chemistry. *Mineralogical Magazine*, 56, 173-184; (1992).
- 5- Aydar, Erkan; Bayhan, Hasan; Gourgaud, Alain, The lamprophyres of Afyon. stratovolcano, Western Anatolia, Turkey: description and genesis. *Comptes Rendus Geoscience* 335, 279-288; (2003).
- 6- S., Bagheri, The exotic Paleo-tethys terrane in Central Iran: new geological data from Anarak, Jandaq and Posht-e-Badam areas. PhD thesis, Faculty of Geosciences and Environment, University of Leusanne, Switzerland (Unpublished), 208 p; (2007).
- 7- J., Blichert-Toft, N.T., Arndt, and J.N., Ludden, Precambrian alkaline magmatism. *Lithos*, 37, 97-111; (1996).
- 8- K.L., Currie, and P.R., Williams, An Archean calc-alkaline lamprophyre suite, northeastern Yilgarn block, Western Australia, *Lithos*, 31, 33-50; (1993).
- 9- G.T.R., Droop, A general equation for estimating Fe³⁺ concentrations in ferromagnesian silicates and oxides from microprobe analyses, using stoichiometric criteria, *Mineralogical Magazine*, 51, 431-435; (1987).
- 10- Guo, Feng; Weiming, Fan; Yuejun, Wang and Ming, Zhang, Origin of early Cretaceous calc-alkaline lamprophyres from the Sulu orogen in eastern China: implications for enrichment processes beneath continental collision belt, *Lithos*, 78, 291-305; (2004).
- 11- M.M., Hirschmann, M.S., Ghiorso, and E.M., Stolper, Calculation of peridotite partial melting from thermodynamic models of minerals and melts. II Isobaric variations in melts near the solidus and owing to variable source composition, *Journal of Petrology*, 40, 297-313; (1999).
- 12- T.N., Irvine, and W.R.A., Baragar, A guid to the chemical classification of the common volcanic rocks. *Canadian J. Earth Sciences*, 8, 523-548; (1971).
- 13- A.L., Jaques, R.A., Creaser, J., Ferguson, and C.B., Smith, A review of the alkaline rocks of Australia, *Trans Geol Soc S Afr*, 88, 311-334; (1985).

اوردیب، در توافق با محیط تکتونیکی درنظر گرفته شده برای این سنگ‌ها (ماگماتیسم درون قاره‌ای) است.

نتیجه‌گیری

مطالعه گدازه‌های بالشی و توده‌های نفوذی لمپروفیری منطقه پله‌اوند در جنوب شرق انارک نشان می‌دهد که این سنگ‌ها از نظر سنگ شناختی و طرز تشکیل شیوه یکدیگر بوده و جزو لمپروفیرهای آلکالن مرتبط با ماگماتیسم درون قاره‌ای هستند. واحد‌های سنگی مورد بررسی بعد از ماگماتیسم در اثر دگرگونی کف اقیانوس در رخساره شیست سبز اسپیلیتی شده‌اند. مطالعه این لمپروفیرها که در محل گسل ترکمنی - اوردیب رخنمون دارند نشان می‌دهد که این گسل بسیار عمیق بوده و در زمان پالئوزوئیک در رخداد ماگماتیسم دارای نقش اساسی بوده است.

منابع

۱- ترابی، قدرت، پترولوزی افیولیت‌های منطقه انارک (شمال شرق استان اصفهان) با تأکید بر مطالعه سنگ‌های اولترامافیک - مافیک افیولیت شمال انارک و سنگ‌های اولترامافیک - مافیک ملانژ افیولیتی عشین-زوار، رساله دکترای پetroلوزی، بخش زمین‌شناسی دانشگاه تربیت مدرس، ۲۴۰ صفحه، ۱۳۸۳.

2- M., Almasian, Tectonics of the Anarak area (Central Iran). PhD thesis of Islamic Azad University, Science and Research Unit, 164 p; (1997).

3- A.V., Andronikov, S.F., Foley, Trace element and Nd-Sr isotopic composition of ultramafic lamprophyres from the East Antarctic Beaver Lake area, *Chemical Geology*, 175, 291-305; (2001).

- lamprophyres from the Jungel Valley, Mahakoshal supracrustal belt, Central India, *Mineralogy and Petrology*, 89, 189–215; (2007).
- 25- Riley, R., Teal Leat, T., Philip Storey, C., Bryan Parkinson, J., Ian and Millar, L., Ian, Ultramafic lamprophyres of the Ferrar large igneous province: evidence for a HIMU mantle component, *Lithos*, 66, 63–67; (2003).
- 26- N.M.S., Rock, The nature and origin of lamprophyres: an overview. In: Fitton JG, Upton BGJ (eds) *Alkaline igneous rocks*. Geol Soc Lond Spec Publ, 30, 191–226; (1987).
- 27- N.M.S., Rock, *Lamprophyres*, Blackie and Sons Ltd, Glasgow, 285 p; (1991).
- 28- F.S., Spear, *Metamorphic Phase Equilibria and Pressure-Temperature-Time Paths*. Mineralogical Society of America, 799 p; (1995).
- 29- S.S., Sun, and W.F., McDonough, Chemical and isotopic systematics of oceanic basalts: implications for mantle composition and processes. In: Saunders, A.D., Norry, M.J. Eds. , *Magmatism in Ocean Basins*. Geol. Soc. Spec. Publ., London, 313–345; (1989).
- 30- S., Tappe, G. A., Jenner, S. F., Foley L. M., Heaman, D., Besserer, B. A., Kjarsgaard and A. B., Ryan, Torgat ultramafic lamprophyres and their relation to the North Atlantic Alkaline Province, *Lithos*, 76, 491–518; (2004).
- 31- Technoexport, Geology of the Anarak area (Central Iran). Geological Survey of Iran, V/O “Technoexport”, Report TE/No.19, 143 p; (1984).
- 32- D.A., Wood, The application of a Th - Hf - Ta diagram to problems of tectonomagmatic classification. *Earth and Plan. Sci. Lett.*, 50, 1–30; (1980).
- 33- A.R., Woolley, S.C., Bergman, A.D., Edgar, M.J., Le Bas, R.H., Mitchell, N.M.S., Rock, and B.H., Scott-Smith, Classification of lamprophyres, lamproites, kimberlites and the kalsilitic, melilitic and leucitic rocks. *Canadian Mineralosig*, 34, 175–186; (1996).
- 14- R., Kretz Symbols for rock-forming minerals, *American Mineralogist*, 68, 277–279; (1983).
- 15- R.W., Le Maitre, *Igneous rocks: a classification and glossary of terms*. 2nd Edition. Cambridge University press, Cambridge, 236 p; (2002).
- 16- P.D., Maniar, and P.M., Piccoli, Tectonic discrimination of granitoids, *Geological Society of America Bulletin*, 101, 635–643; (1989).
- 17- J., Mata, J., Munhá, Madeira Island alkaline lava spinels: petrogenetic implications, *Mineralogy and Petrology*, 81, 85–111; (2004).
- 18- R., McDonald, R.S., Thorpe, J.W., Gaskarth, and A.R., Grindrod, Multi source origin for Caledonian lamprophyres of northern England, *Mineralogical Magazine*, 49, 485–494; (1985).
- 19- M.A., Menzies, and S.Y., Wass, CO₂ and LREE-rich mantle below eastern Australia: a REE and isotopic study of alkaline magmas and apatite-rich mantle xenoliths from the southern highlands province, Australia, *Earth and Planetary Science Letters*, 65, 287–302; (1983).
- 20- R.H., Mitchell, and S.C., Bergman, *Petrology of lamproites*. Plenum Press, New York, 447 p; (1991).
- 21- D., Muller, E.F., Stumpfl, and W.R., Taylor, Shoshonitic and alkaline lamprophyres with elevated Au and PGE Concentrations from the Kreuzeck mountains, Eastern Alps, Austria, *Mineralogy and Petrology*, 46, 23–42; (1992).
- 22- D., Muller, B.J., Morris, and M.J., Ferrand, Potassic alkaline lamprophyres with affinities to lamproites from the Karinya Syncline, South Australia, *Lithos*, 30, 123–137; (1993).
- 23- J.A., Pearce, Trace element characteristics of lavas from destructive plate boundaries. -In: THORPE, R.S. (Ed.): *Andesites: Orogenic Andesites and Related Rocks*: p. 525–548, 16 Fig., 1 Taf.; John Wiley & Sons, London; (1982).
- 24- K., Rajesh, N.V., Srivastava and Chalapathi Rao, Petrology, geochemistry and tectonic significance of Palaeoproterozoic alkaline